

ПОВЕРХНОСТНОЕ СОПРОТИВЛЕНИЕ ВЫСОКОТЕМПЕРАТУРНЫХ ИТРИЕВЫХ СВЕРХПРОВОДНИКОВ В СВЧ ДИАПАЗОНЕ

Н.В. Аншукова, А.И. Головашкин, Б.Г. Журкин, О.М. Иваненко,
А.Л. Карузский, А.Е. Крапивка, К.В. Мицен

Измерено поверхностное сопротивление керамических образцов $Y\text{-Ba-Cu-O}$ в сверхпроводящем и нормальном состояниях на частоте 9 ГГц. Для однофазных образцов $Y\text{Ba}_2\text{Cu}_3\text{O}_{7-x}$ остаточное поверхностное сопротивление в сверхпроводящем состоянии не превышало $5 \cdot 10^{-4}$ Ом.

Исследование СВЧ характеристик высокотемпературных сверхпроводников лантанового /1/ и иттриевого /2, 3/ классов может прояснить механизм сверхпроводимости в них и указать возможные практические применения. Далее приводятся данные по измерениям поверхностного сопротивления на частотах ~ 9 ГГц высокотемпературных сверхпроводящих керамик $Y\text{-Ba-Cu-O}$ в нормальном (R_s^H) и сверхпроводящем ($R_s^{\text{ост}}$) состояниях. Однофазные образцы изготовлены по стандартной технологии с использованием окислов соответствующих металлов.

Высокочастотное сопротивление измерялось резонаторным методом /4, 5/ с использованием экранированного симметричного микрополоскового резонатора /5/.

Материалом металлического экрана и полуволновой полоски служил ниобий, диэлектрические диски выполнены из тefлона. Нагруженная добротность резонатора без образца определялась соотношением /4, 5/

$$Q^{-1} = R_s^{\text{Nb}}/G + \operatorname{tg} \delta + Q_u^{-1}, \quad (1)$$

где R_s^{Nb} – поверхностное сопротивление ниobia; G – геометрический фактор (разный для данного резонатора 17 Ом); $\operatorname{tg} \delta$ – тангенс потерь диэлектрика (для тefлона ~ 10^{-7} /6/); Q_u^{-1} – потери на излучение. Для данных опытов $Q \approx 10^5$ при $T = 4 \div 5$ К и определялась потерями на излучение /5/. Образцы с диаметром 4 мм и высотой 0,6 мм помещались в полость микрополоскового резонатора. Для этого в одном из тefлоновых дисков вы сверливалось отверстие, в которое плотно вставлялся исследуемый образец. Нагруженная добротность резонатора с измеряемым образцом $Q_{\text{обр}}$ определялась соотношением

$$Q_{\text{обр}}^{-1} = R_s/G_{\text{обр}} + Q^{-1} + \Delta(Q_u^{-1}), \quad (2)$$

в котором R_s и $G_{\text{обр}}$ – поверхностное сопротивление и геометрический фактор образца; $\Delta(Q_u^{-1})$ – изменение потерь на излучение за счет введения образца в полость резонатора. Значения $G_{\text{обр}}$ и $\Delta(Q_u^{-1})$ определялись путем измерения $Q_{\text{обр}}$ для двух металлических образцов (меди и ниobia) с известными различными значениями R_s . Для данной геометрии расположения образца в полости резонатора $G_{\text{обр}} \geq 540$ Ом. Согласно (1), (2), при точности измерения добротности методом девиации частоты ± 5% /5/ измерительный микрополосковый резонатор позволял измерять значения R_s образцов $> 5 \cdot 10^{-4}$ Ом при $T < 9$ К и $\geq 0,1$ Ом при $T > 9$ К.

В левой части табл. 1 приведены результаты измерений на постоянном токе: температуры начала и конца сверхпроводящего перехода T_K^H и T_K^K , удельного сопротивления ρ при $T \approx 300$ К и диамагнитной восприимчивости $\chi(T)$. В правой части представлены результаты СВЧ измерений: поверхностное сопротивление R_s^H при $T \approx 300$ К, остаточное поверхностное сопротивление $R_s^{\text{ост}}$ при $T < 9$ К, а также удельное сопротивление ρ и глубина скин-слоя $\delta_{\text{кл}}$ при $T \approx 300$ К, оцененные из значений R_s^H по формулам классического скин-эффекта для однородной гладкой металлической поверхности /4/. Наблюдается корреляция между характеристиками сверхпроводимости, измеренными на постоянном токе, и $R_s^{\text{ост}}$: по мере уменьшения

ширины сверхпроводящего перехода и увеличения доли сверхпроводящей фазы в образце (возрастание абсолютной величины χ) от образца 1 к образцу 3 $R_s^{\text{ост}}$ уменьшается и для лучшего из измеренных образцов не превышает величины $5 \cdot 10^{-4}$ Ом, т.е. величины на порядок меньшей, чем минимальное значение R_s , достижимое на частоте ~ 9 ГГц для очень чистых меди или алюминия в нормальном состоянии при низких температурах [4].

Таблица 1

Свойства образцов иттриевых керамик различного состава

№ образца	Состав образца	Измерения на постоянном токе				Измерения на частоте 9 ГГц			
		T_K^H , К	T_K^K , К	$\chi(T)$	$\bar{\rho}$, Ом·см ($T = 300$ К)	R_s^H , Ом ($T = 300$ К)	$\tilde{\rho}$, Ом·см ($T = 300$ К)	$\delta_{\text{кл}}$, мкм ($T = 300$ К)	$R_s^{\text{ост}}$, Ом ($T < 9$ К)
1	$Y_{1,2}Ba_{0,8}CuO_4$	90,5	67	-0,04(4,2 K)	1,0	20	1,15	600	0,12
2	$Y_1Ba_2Cu_3O_{7-x}$	105	83	-	$8 \cdot 10^{-3}$	2,1	$12 \cdot 10^{-3}$	58	$6 \cdot 10^{-3}$
3	$Y_1Ba_2Cu_3O_{7-x}$	94	92	-1,0 (80 K)	$4 \cdot 10^{-4}$	0,3	$3,5 \cdot 10^{-4}$	10	$< 5 \cdot 10^{-4}$

Существенным моментом является получение сверхпроводящих образцов Y – Ba – Cu – O с высокими значениями критического тока I_K . На это указывает тот факт, что у исследованных образцов, обладающих относительно низким значением I_K ($\sim 10^1 \div 10^2$ А·см $^{-2}$ при $T \approx 4,2$ К), наблюдалась зависимость $R_s^{\text{ост}}$ от СВЧ мощности. Так, для образца № 3 увеличение $R_s^{\text{ост}}$ по сравнению с величиной, приведенной в таблице, наблюдается при средней амплитуде магнитного СВЧ поля на поверхности образца $\sim 0,03$ Гс. Учитывая характерный для теории БКШ температурный ход изменения глубины проникновения магнитного поля в сверхпроводник Y – Ba – Cu – O [7], из соотношения $R_s^{\text{ост}}$ и R_s^H и значения $\delta_{\text{кл}}$ получим оценку [4] глубины проникновения СВЧ поля в образец № 3 в сверхпроводящем состоянии ~ 1 мкм. Тогда плотность тока в нем, которая соответствует началу увеличения $R_s^{\text{ост}}$, оказывается $\approx 10^2$ А/см 2 , что коррелирует с величиной критического тока для этого образца. Соответствующие оценки для образца № 2 дают на порядок меньшее значение плотности тока (~ 10 А/см 2).

Глубина проникновения СВЧ поля (оцененная по изменению поверхностного импеданса без учета шероховатости и неоднородности поверхности металла) имеет относительно большую величину по сравнению с глубиной проникновения постоянного магнитного поля для сверхпроводника $YBa_2Cu_3O_{7-x}$ ($\lambda(0) = 0,14$ мкм [7]). Кроме того, наблюдается отклонение от правила Сильсби, характерное для образцов с размерами, малыми по сравнению с глубиной проникновения, и выражющееся в том, что напряженность СВЧ магнитного поля на поверхности образца, соответствующая величине тока в образце, при котором начинается увеличение $R_s^{\text{ост}}$, значительно меньше напряженности магнитного поля Земли. Из вышеизложенного можно заключить, что определяющее влияние на СВЧ свойства керамик Y – Ba – Cu – O оказывает их гранулярная структура. Другими словами, наличие зазоров и тонких перемычек между гранулами в керамических образцах приводит к увеличению эффективной глубины проникновения СВЧ поля и уменьшению I_K . Кроме того, неоднородность состава образцов также дает свой вклад в возрастание $R_s^{\text{ост}}$, что видно из сравнения свойств образца № 3 и более неоднородного образца № 2.

На рис. 1 показаны температурные зависимости удельного сопротивления $\bar{\rho}$ и мнимой части поверхностного импеданса X для образца № 2. Кроме особенности, связанной с переходом образца в сверхпроводящее состояние при $T \gtrsim 90$ К, в $X(T)$ наблюдается особенность, соответствующая переходу при $T = 60 - 65$ К. Можно связать этот переход с наличием в поверхностном слое второй устойчивой фазы.

В этом случае термодинамический потенциал Гиббса в системе $YBa_2Cu_3O_y$ при изменении y в области низких температур имеет два минимума, соответствующих двум стабильным фазам. Первая ($y = 7$) – это известная высокотемпературная сверхпроводящая фаза $YBa_2Cu_3O_7$ с $T_K \gtrsim 90$ К, вторая ($y = 6,5$) содержит в среднем 6,5 атомов кислорода в элементарной ячейке и упорядоченную систему вакансий кислорода.

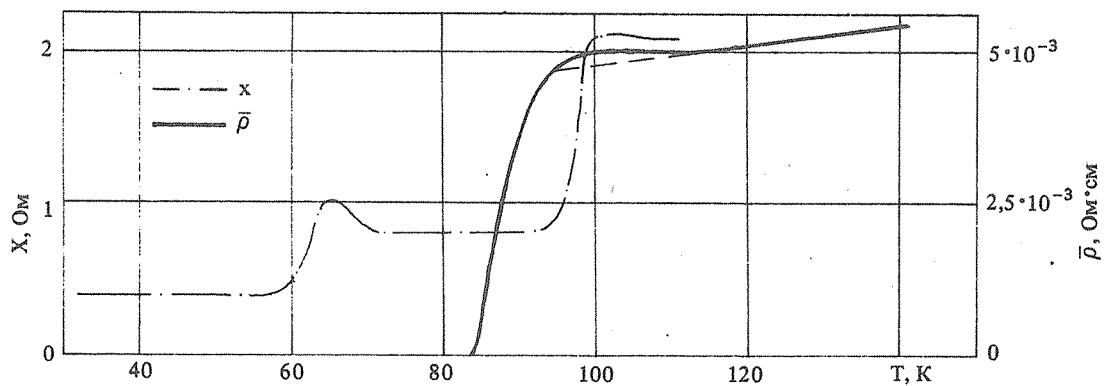


Рис. 1. Температурные зависимости удельного сопротивления $\bar{\rho}$ на постоянном токе и мнимой части поверхностного импеданса X на частоте ~ 9 ГГц для образца № 2. Пунктиром для $\bar{\rho}$ показано продолжение линейной зависимости.

Образцы метастабильных составов вблизи этой фазы являются сверхпроводящими с $T_K \approx 60$ К. Соединения промежуточных составов абсолютно нестабильны. В неоднородном поверхностном слое, обедненном кислородом, имеются фактически две сверхпроводящие фазы, что и проявляется при измерении поверхностного импеданса.

Таким образом, исследования СВЧ свойств высокотемпературных сверхпроводящих керамик Y–Ba–Cu–O показали, что определяющее влияние на величину $R_s^{\text{ост}}$ оказывает гранулярная структура сверхпроводящей керамики. Такие образцы удобно использовать в ограничительных, переключающих и т.п. СВЧ устройствах. Для получения более низких $R_s^{\text{ост}}$ необходимо изготавливать образцы Y–Ba–Cu–O с более высокими значениями I_K .

ЛИТЕРАТУРА

1. Bednorz J. G., Müller K. A. Z. Phys., B64, 189 (1986).
2. Chu C. W. et al. Phys. Rev. Lett., 58, 405 (1987).
3. Bourne L. C. et al. Phys. Lett., 120A, 494 (1987).
4. Мендє Ф. Ф., Спицин А. И. Поверхностный импеданс сверхпроводников. Киев, Наукова думка, 1985.
5. Головашкин А. И. и др. Препринт ФИАН № 135, М., 1981; Краткие сообщения по физике ФИАН, № 6, 7 (1982); 23-е Всесоюзное совещание по физике низких температур. Тезисы докладов. Таллин, изд. ИХБФ АН ЭССР, 1984, ч. I, с. 266.
6. Брагинский В. Б., Митрофанов В. П., Панов В. И. Системы с малой диссипацией. М., Наука, 1981.
7. Harshman D. R. et al. Preprint Bell Labs., USA, 1987.

Поступила в редакцию 13 ноября 1987 г.